## · 临床论著 ·

# 退行性腰椎侧凸椎管狭窄两种椎间融合术比较△

孙 武,朱立国\*,杨克新,董永丽,冯敏山,高春雨,银 河

(中国中医科学院望京医院,北京市100102)

摘要: [目的] 比较微创经椎间孔腰椎体间融合术(minimally invasive transforaminal lumbar interbody fusion, MIS-TLIF)与后路腰椎体间融合术(posterior lumbar interbody fusion, PLIF)治疗退行性腰椎侧凸的临床疗效。 [方法] 回顾性分析 2016 年 1 月—2019 年 9 月手术治疗的退行性腰椎侧凸患者 75 例,依据术前医患沟通结果,32 例采用 MIS-TLIF,43 例采用 PLIF。比较两组围手术期、随访和影像资料。 [结果] MIS-TLIF 组手术时间稍长,但与 PLIF 组差异无统计学意义(P>0.05),前者术中出血量、术后引流量、术后 3 d C-反应蛋白、术后下地行走时间和住院时间均显著优于后者(P<0.05)。 早期并发症 MIS-TLIF 组为 3/32(9.38%), PLIF 组为 15/43(34.88%),差异有统计学意义(P<0.05)。 随访 12~48 个月,平均(29.09±6.24)个月。 MIS-TLIF 组恢复完全负重活动时间显著早于 PLIF 组(P<0.05)。 随时间推移两组 VAS 和 ODI 评分均显著降低 (P<0.05)。 末次随访时, MIS-TLIF 组 ODI 评分仍显著优于 PLIF 组 (P<0.05)。影像方面,与术前相比,末次随访时两组患者侧凸 Cobb 角、LL 和责任节段椎管面积均显著改善(P<0.05)。相应时间点,两组间上述影像测量指标的差异均无统计学意义(P>0.05)。 [结论] MIS-TLIF 治疗退行性腰椎侧凸单节段椎管狭窄手术创伤小,并发症发生率低,更有利于腰椎功能的恢复。

关键词:退行性腰椎侧凸,椎管狭窄,微创手术,腰椎间融合

中图分类号: R682.3 文献标志码: A 文章编号: 1005-8478 (2021) 21-1939-06

Comparison of two kinds of lumbar interbody fusion for degenerative lumbar scoliosis accompanied with single-segment spinal stenosis // SUN Wu, ZHU Li-guo\*, YANG Ke-xin, DONG Yong-li, FENG Min-shan, GAO Chun-yu, YIN He. Wangjing Hospital, China Academy of Chinese Medicine Sciences, Beijing 100102, China

Abstract: [Objective] To compare the clinical outcomes of minimally invasive surgery - transforaminal lumbar interbody fusion (MIS-TLIF) versus posterior lumbar interbody fusion (PLIF) for degenerative lumbar scoliosis accompanied with single-segment spinal stenosis. [Methods] A retrospective was conducted on 75 patients who underwent surgical treatment for degenerative lumbar scoliosis accompanied with single-segment spinal stenosis in our hospital from January 2016 to September 2019. According to the consequences of preoperative doctor-patient communication, 32 patients received MIS-TLIF, while the remaining 43 patients underwent PLIF. The perioperative, followup and radiographic documents were compared between the two groups. [Results] Although the MIS-TLIF group consumed slightly longer operation time, which was not statistically significant compared with the PLIF group (P>0.05), the former proved significantly superior to the latter in terms of intraoperative blood loss, postoperative drainage, and C-reactive protein (CRP), the time to return walking and hospital stay (P<0.05). The early complications were 3/32 (9.38%) in the MIS-TLIF group whereas 15/43 (34.88%) in the PLIF group, which was statistically significant (P<0.05). The follow-up period lasted for 12 to 48 months, with an average of (29.09±6.24) months. The MIS-TLIF group resumed full weight-bearing activity significantly earlier than the PLIF group (P < 0.05). The VAS and ODI scores decreased significantly in both groups over time (P<0.05). The MIS-TLIF group was significantly better than the PLIF group in ODI score at the latest follow-up (P<0.05). In terms of imaging evaluation, the scoliotic Cobb angle, lumbar lordosis (LL) and spinal canal area of the responsible segment significantly improved in both groups at the latest follow-up compared with those preoperatively (P<0.05). At any corresponding time point, there was no statistically significant difference in the above-mentioned items measured radiographically between the two groups (P>0.05). [Conclusion] The MIS-TLIF has benefits of less surgical trauma and low complication rate, is more conducive to the functional recovery for degenerative lumbar scoliosis accompanied with single-segment spinal stenosis.

 $<sup>{\</sup>rm DOI:} 10.3977/j.issn. 1005-8478. 2021. 21.04$ 

<sup>△</sup>基金项目:中国中医科学院基本科研业务费自主选题项目(编号:ZZ10-022);中医药传承与创新"百千万"人才工程(岐黄工程)岐黄学者作者简介:孙武,副主任医师,研究方向:脊柱外科,(电话)13661386553,(电子信箱)sunwu1978@sina.com

<sup>\*</sup>通信作者:朱立国,(电话)01084739194,(电子信箱)lgsw@sina.com

Key words: degenerative lumbar scoliosis, spinal stenosis, minimally invasive surgery, lumbar interbody fusion

随着老龄化社会的进展,退行性腰椎侧凸的发病上升明显 [1,2]。由于退行性腰椎侧凸三维畸形,手术难度大,且患者高龄,手术耐受性差,术后并发症的发生率高达 24.6%~62.6% [3-7],严重影响腰椎功能的恢复,已经成为脊柱外科手术医师不可回避的问题。近年来,MIS-TLIF 治疗退行性脊柱疾病的微创特点已被众多脊柱外科医生认可 [8-10]。但是关于 MIS-TLIF 治疗退行性腰椎侧凸的报道较少,MIS-TLIF 能否解决退行性腰椎侧凸手术与术后高并发症之间的矛盾,同时提高术后患者的生活质量,仍需进一步研究。为了评估 MIS-TLIF 治疗退行性腰椎侧凸的微创优势及其对腰椎功能恢复的影响。笔者回顾分析2016 年 1 月—2019 年 9 月在本院行 MIS-TLIF 手术的退行性腰椎侧凸患者 32 例,与同期行 PLIF 手术的43 例退行性腰椎侧凸患者进行对比,报道如下。

## 1 资料与方法

#### 1.1 纳入与排除标准

纳入标准:(1)年龄>40岁,以单侧下肢症状为主;(2)X线片见脊柱侧凸畸形,冠状位 Cobb角>10°,CT和MRI证实为单节段椎管狭窄,且狭窄节段为引起症状的责任节段(图 1a~1d);(3)既往无侧凸病史,成年以后新出现的侧凸;(4)术前无贫血或下肢肌间静脉血栓。

排除标准:(1)资料不全等影响观察者;(2) 其他类型的脊柱侧凸,如先天性脊柱侧凸、特发性脊柱侧凸等。

## 1.2 一般资料

回顾性分析 2016 年 1 月—2019 年 9 月手术治疗的退行性腰椎侧凸患者, 共 75 例符合上述标准,纳入本研究。依据术前医患沟通结果,将患者分为两组。MIS-TLIF 组 32 例,PLIF 组 43 例。两组术前一般资料见表 1,两组患者治疗前在年龄、性别、病程、BMI 和病变责任节段的差异均无统计学意义(P>0.05)。本研究经医院伦理委员会审批,所有患者术前均签署手术知情同意书。

## 1.3 手术方法

MIS-TLIF 组:全麻,俯卧位,手术节段上下两个椎弓根中心的连线作手术切口,长约 2~4 cm。沿Wiltse 人路在椎旁肌外侧逐级放置 Quadrant 通道。通道下使用骨刀凿除下关节突及部分椎板,暴露上关节

突后用椎板咬骨钳咬除上关节突增生内聚的部分,用神经剥离子向内下探到椎弓根内壁,使用刮匙清理黄韧带在椎弓根处的连接后,即可向内拨开黄韧带暴露椎弓根内侧的神经根。神经根拉钩向内牵拉开神经根及硬膜囊后,暴露并切除突出的纤维环及髓核组织。清理椎间隙至骨性终板后,置入自体/异体松质骨填塞的椎间融合器。在 C 臂透视辅助下,置入双侧经皮椎弓根螺钉,选择横突根部和上关节突基底的连线交点进钉,以正侧位透视纠正进钉方向。放入双侧棒,双侧进行节段加压后紧固。若减压侧是凹侧,尽量选用大一号的椎间融合器撑开凹侧椎间隙;若减压侧是凸侧,置入融合器后凸侧进一步加压矫形(图 1e)。加压完成后再次检查神经根管是否狭窄。完成固定后关闭切口。

表 1 两	组患者术前一般资料	与比较	
指标	MIS-TLIF 组	PLIF 组	P 值
1日7小	(n=32)	(n=43)	
年龄 (岁, <i>x̄</i> ±s)	65.94±3.50	65.53±3.09	0.283
性别(例,男/女)	13/19	15/28	0.611
病程 (年, $\bar{x} \pm s$ )	3.89±1.09	3.73±1.03	0.263
BMI (kg/m <sup>2</sup> , $\bar{x} \pm s$ )	26.46±2.25	26.21±2.35	0.326
责任节段(例, L3/4/ L4/	5/ L <sub>5</sub> S <sub>1</sub> ) 1/18/13	2/22/19	0.920

PLIF 组:全麻,俯卧位,腰部后正中切口,显露手术节段后方结构,置入椎弓根螺钉。行狭窄节段椎管减压,清理椎间隙至骨性终板后置入自体/异体松质骨填塞的椎间融合器。截取长度合适的棒预弯后连接凸侧螺钉,转棒矫正椎体旋转后适度加压,然后凹侧放棒适度撑开后锁定。透视证实手术节段椎体后缘间隙高度低于融合器高度,以避免术后融合器后移。再次探查硬膜前方及神经根周围有无碎屑骨块,生理盐水冲洗后关闭切口。

# 1.4 评价指标

记录围手术期数据。采用完全负重活动时间、疼痛视觉模拟评分(visual analogue scale, VAS)和 Oswestry 功能障碍指数(Oswestry disability index, ODI)评价临床效果。行 X 线检查,测量冠状面侧凸 Cobb角和矢状面腰前凸(lumbar lordosis, LL)。行腰椎 CT检查,依据 BSF 分级判断椎间融合情况, BSF-1级:椎体接触面透光、囊性变,椎间融合器植骨吸收; BSF-2级:椎间融合器内可见连接上下终板的骨小梁,但在融合器内可发现完全横断的透亮带;

BSF-3级: 椎体间出现连接椎体上、下终板的完全连 续的骨小梁,可位于融合器内或融合器外[11];测量 椎管面积, 即责任节段椎间盘中线与上下终板平行的 椎管横截面积 [12], 见图 1c, 1g。

#### 1.5 统计学方法

采用 SPSS 16.0 软件进行统计学分析。计量数据 以 $\bar{x} \pm s$ 表示,资料呈正态分布时,两组间比较采用独 立样本 t 检验, 组内时间点比较采用单因素方差分析 或配对 T 检验; 资料呈非正态分布时, 采用秩和检 验。计数资料采用 x² 检验或 Fisher 精确检验。等级 资料两组比较采用 Mann-whitney U 检验。P<0.05 为 差异有统计学意义。

#### 2 结 果

#### 2.1 围手术期情况

两组患者均顺利完成手术。围手术期数据见表 2。 MIS-TLIF 组手术时间稍长,但与 PLIF 组差异无统计 学意义 (P>0.05); MIS-TLIF 组术中出血量、术后引 流量、术后 3 d C-反应蛋白 (C-reactive protein, CRP)、术后下地行走时间和住院时间均显著优于 PLIF 组 ( P<0.05 )。

表 2 两组患者	<b>計围手术期资料</b>	( <u>x̄</u> ±s) 与比较	
指标	MIS-TLIF 组	PLIF 组	P 值
	(n=32)	(n=43)	<i>I</i> [B.
手术时间 (min)	149.38±20.47	138.95±30.91	0.051
术中失血量 (ml)	102.81±28.54	181.86±50.15	<0.001
术后引流量 (ml)	13.44±6.28	180.93±40.46	<0.001
术后 3 d CRP(mg/L)	19.08±9.23	47.01±31.26	<0.001
下地行走时间(d)	2.06±0.56	2.98±0.51	<0.001
住院时间 (d)	7.75±0.84	10.18±1.4	<0.001

早期并发症方面, MIS-TLIF 组为 3/32 (9.38%),包括术中硬膜破裂1例,术后一过性肌力 下降1例, 伤口乙级愈合1例。PLIF组为15/43 (34.88%),包括术中硬膜破裂3例,术后一过性肌 力下降 5 例, 肺部感染 2 例, 下肢静脉血栓 2 例, 伤 口乙级愈合 3 例。MIS-TLIF 组的早期并发症发生率 显著低于 PLIF 组 (P=0.011)。

#### 2.2 随访结果

患者均随访 12~48 个月, 平均(29.09±6.24)个 月。两组随访资料见表 3。MIS-TLIF 组恢复完全负 重活动时间显著早于 PLIF 组 (P<0.05)。随时间推 移,两组 VAS 和 ODI 评分均显著降低 (P<0.05)。

术前两组间 VAS 和 ODI 评分的差异均无统计学意义 (P>0.05), 但出院时 MIS-TLIF 组的 VAS 和 ODI 评 分显著优于 PLIF 组 ( P<0.05 )。末次随访时,两 组 VAS 评分差异无统计学意义 (P>0.05), 但是, MIS-TLIF 组 ODI 评分仍显著优于 PLIF 组 (P< 0.05)

表 3	两组患者随访结果	( <u>x̄</u> ±s) 与比较	
指标	MIS-TLIF 组	PLIF 组	P 值
	(n=32)	(n=43)	P 1 II.
完全负重时间(	周) 10.38±1.24	11.93±1.12	< 0.001
VAS 评分(分)			
术前	8.06±0.62	7.91±0.72	0.163
出院时	1.59±0.67	2.51±0.83	< 0.001
末次随访	2.22±0.39	2.39±0.85	0.148
P 值	<0.001	< 0.001	
ODI 评分(%)			
术前	42.93±3.31	42.05±3.62	0.139
出院时	14.25±1.97	18.23±3.33	< 0.001
末次随访	18.34±5.45	21.44±4.95	0.006
P值	<0.001	< 0.001	

随访过程中, MIS-TLIF 组 32 例患者均无疼痛 或神经症状加剧,无需手术翻修者。PLIF 组 1 例 L45 节段椎管狭窄患者于初次术后 1.5 个月出现右下 肢疼痛加重,影像显示右侧椎间融合器后移,行翻 修 PLIF 手术, 术中见右侧椎间融合器后移, 右侧 L。椎弓根螺钉松动,将右侧 L。椎弓根螺钉由原来的 直径 6.5 mm、长度 45 mm 更换为直径 7.5 mm、长 度 45 mm 后, 检查螺钉无明显松动, 改为取出融 合器后同种异体松质骨椎间及横突间植骨。二次术 后严格佩戴硬性支具3个月,术后1年随访患者恢 复良好。

#### 2.3 影像评估

两组影像评估结果见表 4, 与术前相比, 末次 随访时两组患者侧凸 Cobb 角、LL 和责任节段椎管 面积均显著改善(P<0.05)。相应时间点,两组间在 侧凸 Cobb 角度数、LL 和责任节段椎管面积的差异 均无统计学意义 (P>0.05)。椎间植骨融合情况: 末次随访时 MIS-TLIF 组融合率 81.25%, 包括 BSF 2 级 6 例, BSF 3 级 26 例; PLIF 组融合率 74.42%, 包 括 BSF 2 级 11 例, BSF 3 级 32 例; 两组间融合率的 差异无统计学意义(P=0.485)。不良影像改变方面, MIS-TLIF 组为 2/32 (6.25%), 为邻近节段退变 2 例; PLIF 组为 6/43 (13.95%), 包括邻近节段退变 5

例,内固定松动 1 例;两组间不良影像改变率的差异无统计学意义(P=0.285)。MIS-TLIF 组典型影像见

图 1。

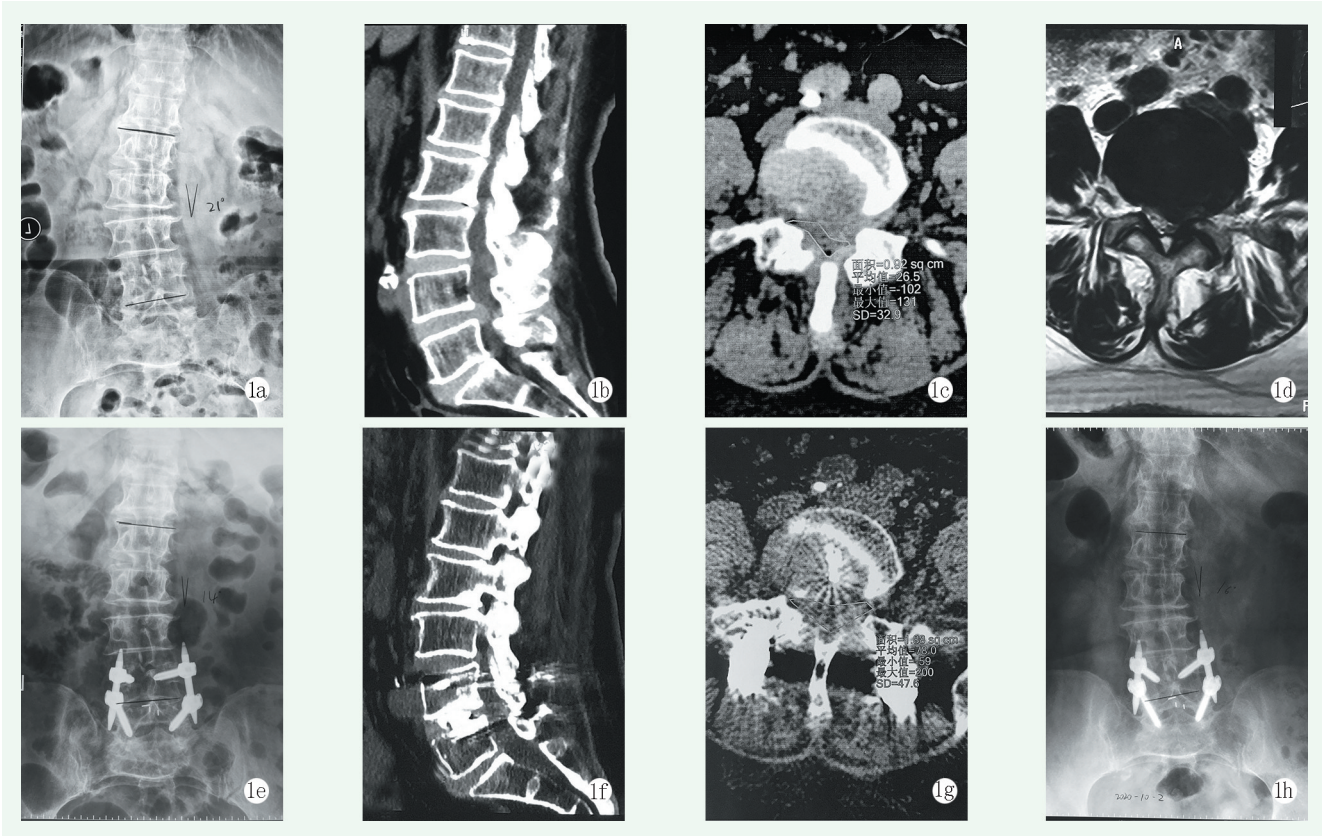


图 1 患者,女,65岁,左下肢根性痛 1a: 术前正位 X 线示退行性腰椎侧凸, $L_{2-5}$  Cobb 角 21° 1b: 术前矢状面 CT 示  $L_{4/5}$  椎间盘突出 1c: 术前横断面 CT 示  $L_{4/5}$  节段椎间盘突出,椎管狭窄,椎管面积 92 mm² 1d: 术前横断面 MRI 示  $L_{4/5}$  节段椎间盘突出,椎管狭窄,硬膜囊受压变形 1e: 术后 3 d 正位 X 线片示椎弓钉位置好, $L_{2-5}$  Cobb 角矫正至 14° 1f: 术后 3 个月 矢状面 CT 示椎管扩大,椎间植骨 BSF-3 级融合 1g: 术后 3 个月横断面 CT 示突出间盘摘除,椎管面积 188 mm² 1h: 术后 18 个月正位 X 线片示侧弯矫正无丢失

表 4	两组患者影像测量结果	( <u>x</u> ±s) 与比较	
指标	MIS-TLIF 组	PLIF 组	P值
	(n=32)	(n=43)	
侧凸 Cobb 角	(°)		
术前	17.88±3.73	18.58±4.24	0.228
末次随访	12.94±3.20	12.83±3.35	0.448
P值	<0.001	< 0.001	
LL (°)			
术前	19.22±9.75	20.39±5.75	0.258
末次随访	26.91±4.24	26.39±5.72	0.336
P值	<0.001	< 0.001	
椎管面积(cr	$m^2$ )		
术前	0.90±0.08	0.87±0.09	0.059
末次随访	1.49±0.12	1.45±0.09	0.087
P值	<0.001	<0.001	

## 3 讨论

退行性腰椎侧凸是指在骨骼发育成熟之后由于脊 柱组成结构退变导致的脊柱三维畸形,冠状面 Cobb 角>10°,多合并椎体旋转、矢状面滑脱或侧方滑脱。 随着医疗水平的提高和老龄化社会的出现, 其发病率 在 40 岁以上的汉族人群中高达 13.3% [1, 2]。手术是 治疗退行性腰椎侧凸的主要方式[3-7],退行性腰椎侧 凸患者高龄,对侧凸畸形长期耐受,相对于侧凸矫 形,手术目的更主要的是缓解患者的症状[13-15]。对 于根性痛为主的患者, 手术方式主要为短节段 PLIF 手术 [16-19]。PLIF 手术需大范围地剥离椎旁肌并给予 较长时间的牵开, 术中对神经根和硬膜囊的牵拉较 重,术后易发生神经损伤[16,17]。同时由于退行性腰 椎侧凸患者高龄,基础疾病多,身体条件差。文献报 道退行性腰椎侧凸术后并发症发生率可高达 24.6%~ 62.6% [3-7], 严重影响腰椎功能的恢复和生活质量的 提高。因此,如何在保证手术效果的同时避免手术相

关并发症的发生,已经成为外科医生治疗退行性腰椎 侧凸患者无法回避的难题。

退行性腰椎侧凸术后并发症以 6 周为界可分为近期并发症和远期并发症 <sup>[20]</sup>。其中,近期并发症主要为基础疾病相关并发症和手术直接相关并发症,如肺部感染、血栓、硬膜撕裂、神经损伤和伤口愈合欠佳等。远期并发症主要为脊柱退变相关并发症和内固定相关并发症,如邻近节段退变、近端交界性后凸、内固定松动等。文献报道 MIS-TLIF 手术具有入路创伤小,神经牵拉轻,椎体后方韧带复合结构及对侧关节突关节保留完整等特点 <sup>[21-23]</sup>。文献关于 MIS-TLIF 治疗退行性腰椎侧凸的临床报道较少,这一术式能否解决退行性腰椎侧凸手术与术后高并发症之间的矛盾,仍需进一步研究。

为了验证 MIS-TLIF 手术的优势, 作者通过与传 统的 PLIF 手术对比发现: (1) 相对于 PLIF 手术, MIS-TLIF 手术对椎旁肌肉损伤小、术中出血少,术 后引流少,贫血及炎症反应轻,患者下地早,恢复 快。可有效降低术后近期并发症的发生;(2)远期并 发症的发生与后方韧带复合结构、关节突关节破坏等 因素相关<sup>[20]</sup>。MIS-TLIF 手术保留了椎体后方结构和 对侧关节突关节,脊柱稳定性高,可减少术后远期并 发症的发生<sup>[21-24]</sup>; (3) MIS-TLIF 手术对椎旁肌肉损 伤小, 术区瘢痕增生少, 更有利于腰椎功能的恢 复[25]。本文两组患者手术时间 MIS-TLIF 组稍长, 但 并没有统计学意义。分析原因笔者认为本文病例中, 术中使用骨刀在通道内凿除下关节突及部分椎板,暴 露上关节突后用椎板咬骨钳咬除上关节突增生内聚的 部分,再用神经剥离子向内下探到椎弓根内壁,使用 刮匙清理黄韧带在椎弓根处的连接后,即可直接暴露 椎弓根内侧的神经根。该操作方法省略了磨钻去除下 关节突关节, 椎板咬骨钳咬除黄韧带最终暴露神经根 的步骤,可大幅缩短 MIS-TLIF 的手术时间,同时可 避免去除黄韧带过程中导致的硬膜囊撕裂。

总之,对于椎管狭窄引起的下肢根性痛为主,行单节段手术治疗的退行性腰椎侧凸患者,MIS-TLIF 手术组织创伤小,椎体结构去除少,可有效降低术后 并发症的发生,更有利于患者症状的缓解和腰椎功能 的恢复。

#### 参考文献

[1] Xu LL, Sun X, Huang SS, et al. Degenerative lumbar scoliosis in Chinese Han population: prevalence and relationship to age, gender, bone mineral density and body mass index [J]. Eur Spine J,

- 2013, 22 (6): 1326-1331.
- [2] McAviney J, Roberts C, Sullivan B, et al. The prevalence of adult de novo scoliosis: a systematic review and meta-analysis [J]. Eur Spine J, 2020, 29 (12): 2960-2969.
- [3] Ding JZ, Kong C, Sun XY, et al. Perioperative complications and risk factors in degenerative lumbar scoliosis surgery for patients older than 70 years of age [J]. Clin Interv Aging, 2019, 14 (7): 2195-2203.
- [4] 李冬月,海涌,孟祥龙,等.短节段腰椎固定融合术治疗退变性 腰椎侧凸的并发症及危险因素分析 [J].中国脊柱脊髓杂志, 2019, 29 (10):882-887.
- [5] Rousing R, Jensen RK, Fruensgaard S, et al. Danish National Clinical Guidelines for surgical and nonsurgical treatment of patients with lumbar spinal stenosis [J]. Eur Spine J, 2019, 28 (5): 1386–1396.
- [6] Daniels AH, Reid D, Tran SN, et al. Evolution in surgical approach, complications, and outcomes in an adult spinal deformity surgery multicenter study group patient population [J]. Spine Deform, 2019, 7 (3): 481–488.
- [7] Yamada K, Nakamae T, Nakanishi K, et al. Long-term outcome of targeted therapy for low back pain in elderly degenerative lumbar scoliosis [J]. Eur Spine J, 2021, 30 (7): 2020–2032.
- [8] 马远, 程省, 郭雄飞, 等. 椎管狭窄症两种经椎间孔椎体间融合术比较[J]. 中国矫形外科杂志, 2020, 28 (19): 1729-1733.
- [9] 贺海怿, 毛克亚, 李鹏, 等. 一次性可扩张通道辅助下 MISTLIF 与 PLIF 治疗单节段腰椎退行性疾病的疗效比较 [J]. 中国骨与关节损伤杂志, 2020, 35 (7): 686-689.
- [10] Kou Y, Chang J, Guan X, et al. Endoscopic lumbar interbody fusion and minimally invasive transforaminal lumbar interbody fusion for the treatment of lumbar degenerative diseases: a systematic review and meta-analysis [J]. World Neurosurg, 2021, 152 (2): e352-e368.
- [11] Fogel GR, Toohey JS, Neidre A, et al. Fusion assessment of posterior lumbar interbody fusion using radiolucent cages: X-ray films and helical computed tomography scans compared with surgical exploration of fusion [J]. Spine J, 2008, 8 (4): 570-577.
- [12] 鹿梦岩, 冯国洋, 郭龙军, 等. CT 检查参数对腰椎管狭窄症的 诊断价值及与疗效、腰椎功能改善的相关性分析 [J]. 影像科学 与光化学, 2021, 39 (2): 251-256.
- [13] 孙晓辉, 刘洋, 崔明星. 短与长节段融合固定退行性腰椎侧凸椎管狭窄症[J]. 中国矫形外科杂志, 2020, 28 (21): 1936-1940.
- [14] Silva FE, Lenke LG. Adult degenerative scoliosis: evaluation and management [J]. Neurosurg Focus, 2010, 28 (3): E1.
- [15] 陈宇飞, 马炜, 彭页, 等. 保留棘突韧带复合体腰椎管扩大术的 早期疗效 [J]. 中国矫形外科杂志, 2019, 27 (9): 774-778.
- [16] Sun W, Gao JH, Zhu LG, et al. Compression therapy following posterior lumbar interbody fusion: a prospective, randomized, clinical study [J]. BMC Surg, 2019, 19 (8): 1326–1331.
- [17] Kakiuchi M, Wada E, Harada T, et al. Relief of low back pain after posterior decompression for lumbar spinal stenosis [J] . Spine, 2021, 46 (18): E966-E975.

- [18] 余可谊. 退行性脊柱疾病微创手术的进展 [J]. 中华骨与关节 外科杂志, 2021, 14 (5): 344-349.
- [19] 张阳, 张立志, 张志成, 等. 短节段固定治疗老年退行性脊柱侧 凸合并腰椎管狭窄的临床疗效 [J]. 中国骨与关节杂志, 2021, 10(1):5-10.
- [20] 林友禧, 沈建雄, 戎天华, 等. 退行性脊柱侧凸内固定术后外科相关并发症的研究进展[J]. 中国脊柱脊髓杂志, 2019, 29 (10): 925-931.
- [21] Lak AM, Lamba N, Pompilus F, et al. Minimally invasive versus open surgery for the correction of adult degenerative scoliosis: a systematic review [J]. Neurosurg Rev, 2021, 44 (2): 659–668.
- [22] 江涛, 王俊芳, 顾晓峰, 等. 单切口 Wiltse 人路 MIS-TLIF 治疗 腰椎退变性疾病疗效评价 [J]. 颈腰痛杂志, 2020, 41 (2): 170-

173

- [23] 廖旭昱, 周雷杰, 马维虎, 等. Wiltse 人路置钉联合对侧 TLIF 和 传统术式治疗腰椎间盘突出症的病例对照研究 [J]. 中国骨伤, 2021, 34 (1):51-57.
- [24] Wei FL, Zhou CP, Liu R, et al. Management for lumbar spinal stenosis: a network meta-analysis and systematic review [J]. Int J Surg, 2021, 85 (1): 19-28.
- [25] 牟海频, 刘向阳, 黄象望, 等. 磁共振成像下量化比较 MISTLIF 与 TLIF 对多裂肌损伤程度的研究 [J]. 中国骨与关节杂志, 2018, 7 (10): 750-755.

(收稿:2021-03-01 修回:2021-06-22)